

# การถ่ายทอด ผลงานความร้อนและมวล

ในอุปกรณ์ด้านความร้อนและกระบวนการ  
**(ครั้งที่ 15)**

ระหว่างวันที่ 30-31 มีนาคม 2559  
ณ โรงแรม แอด รีสอร์ท สมุย  
จังหวัดสุราษฎร์ธานี

## การเพิ่มประสิทธิภาพของวัสดุจักรแรงคินสารอินทรีย์โดยใช้ระบบทำความเย็นแบบดูดซับ

### ENHANCEMENT EFFICIENCY OF AN ORGANIC RANKINE CYCLES BY USING AN ADSORPTION REFRIGERATION

Yiayang Wakaiyang

Nattaporn Chaiyat

วิทยาลัยพลังงานทดแทน มหาวิทยาลัยแม่โจ้

#### บทคัดย่อ

งานวิจัยนี้ศึกษาการเพิ่มประสิทธิภาพของวัสดุจักรแรงคินสารอินทรีย์โดยระบบทำความเย็นแบบดูดซับ เพื่อลดอุณหภูมิสารทำงานที่เครื่องควบแน่นของวัสดุจักรแรงคินสารอินทรีย์ร่วมกับการเลือกสารทำงานที่เหมาะสมสำหรับระบบทำความเย็นแบบดูดซับ โดยงานวิจัยนี้ นำผลการทดสอบวัสดุจักรแรงคินสารอินทรีย์ขนาด 20 kW<sub>e</sub> ที่ใช้ R-245fa เป็นสารทำงาน มากิเคราะห์ร่วมกับพุติกรรมด้านความร้อนของระบบทำความเย็นแบบดูดซับที่ใช้สาร 4 ชนิด อันประกอบไปด้วย ซิลิกาเจล-น้ำ คาร์บอน-เมทานอล และคาร์บอน-แอมโมเนีย ตามลำดับ ผลการศึกษาพบว่า วัสดุจักรแรงคินสารอินทรีย์มีประสิทธิภาพก่อนการปรับปรุงประมาณ 6.81% ที่อุณหภูมน้ำร้อนเข้าสู่ระบบประมาณ 100 °C และระบบหลังการปรับปรุงมีประสิทธิภาพเพิ่มขึ้นโดยเฉลี่ยประมาณ 4.64% และยังพบอีกว่า ระบบทำความเย็นแบบดูดซับที่ใช้สารทำงานซิลิกาเจล-น้ำ มีประสิทธิภาพของระบบหลังการปรับปรุงสูงที่สุด คือ 11.45% ที่ค่าสมประสิทธิ์สมรรถนะของระบบทำความเย็นเท่ากับ 0.53 และอุณหภูมิสารทำงานที่เครื่องควบแน่นของวัสดุจักรแรงคินสารอินทรีย์ประมาณ 19.88 °C

คำสำคัญ: วัสดุจักรแรงคินสารอินทรีย์ระบบทำความเย็นแบบดูดซับ ผู้สารทำงาน

#### Abstract

This research studiesenhancement efficiency of an organic Rankine cycle (ORC) by using an adsorption refrigeration for reducing the refrigerant temperature of the ORC condenser. Selection working pairs of the adsorption refrigeration is used to evaluate the suitable working fluids. In this study, the testing results of a 20 kW<sub>e</sub>ORC system with using R-245fa as refrigerant is used to consider with thermal performance of the adsorption system at 4 working pairs, which are silica gel–water, zeolite–water, carbon-methanol and carbon-ammonia, respectively. From the simulation results, it could be found that the normal ORC efficiency is 6.81% at the hot water entering the ORC system around 100 °C. In case of the modified systems, theaverage efficiency could be enhanced at around 4.64%. In addition, the adsorption refrigeration taken silica gel–water as working pair shows the highest ORC efficiency at around 11.45%, which the COP of the adsorption system and the ORC condenser temperature are 0.53 and 19.88 °C, respectively.

**Keywords:** Organic Rankine Cycle, Adsorption Refrigeration Cycle, Working Pairs

#### 1. บทนำ

ในปัจจุบันมีการใช้พลังงานในอัตราเพิ่มขึ้นเรื่อยๆ เนื่องจากมีการขยายตัวทางด้านอุตสาหกรรม ที่อยู่อาศัยและการเพิ่มขึ้นของกิจกรรมด้านต่างๆ โดยพลังงานส่วนใหญ่ได้มาจากเชื้อเพลิงฟอสซิล ซึ่งเป็นแหล่งพลังงานที่ใช้แล้วหมดไป ทำให้ปริมาณลดน้อยลงอย่างต่อเนื่อง ในขณะเดียวกันก็มีความต้องการพลังงานที่เพิ่มขึ้นอย่างต่อเนื่อง จึงจำเป็นต้องหาแหล่งพลังงานทดแทนที่สามารถตอบสนองความต้องการในอนาคตได้ เช่น พลังงานแสงอาทิตย์ ลม น้ำ ไอน้ำ ฯลฯ ที่มีความต่อเนื่องและไม่มีผลกระทบต่อสิ่งแวดล้อม

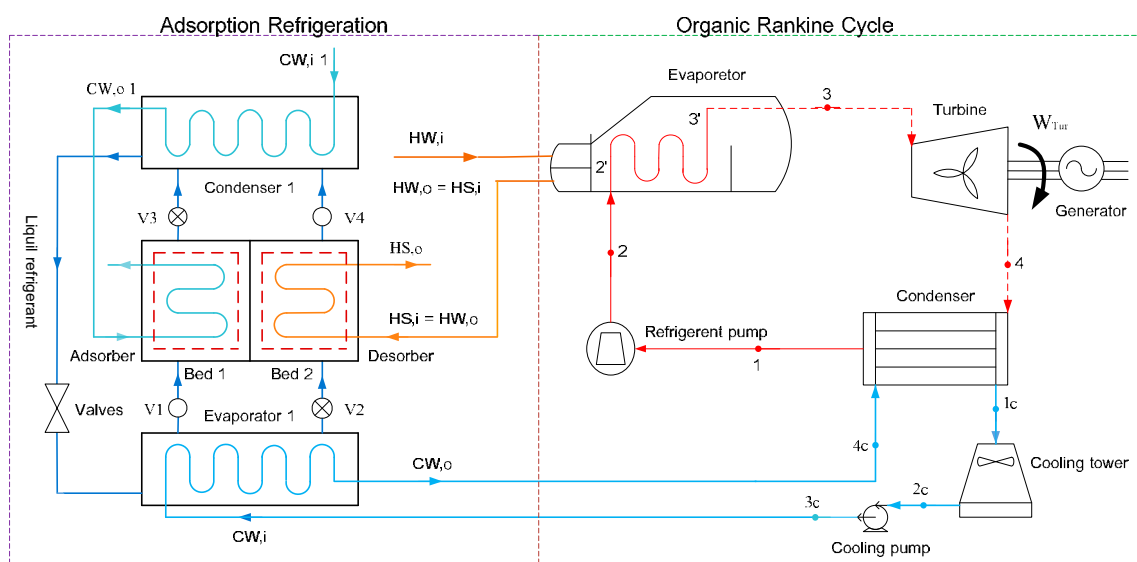
สารอินทรีย์(Organic Rankine Cycle,ORC)เป็นเทคโนโลยีที่เหมาะสมสำหรับการใช้ความร้อนที่มีอุณหภูมิต่ำมาผลิตพลังงานไฟฟ้า

งานวิจัยที่เกี่ยวข้องกับร่วมกับวัสดุจักรแรงคินสารอินทรีย์มีดังต่อไปนี้[1]ศึกษาประสิทธิภาพเมื่อเปลี่ยนไปใช้การผลิตกระแสไฟฟ้าของวัสดุจักรแรงคินสารอินทรีย์โดยใช้พลังงานทางเลือกคือพลังงานความร้อนได้พิกัด พลังงานแสงอาทิตย์และขยะ ซึ่งผลการศึกษาพบว่า วัสดุจักรแรงคินสารอินทรีย์ที่ใช้พลังงานความร้อนได้

พิภพ มีต้นทุนการผลิตต่ำกว่าพลังงานไฟฟ้าที่ได้ต่ำที่สุดสองคล้องกับ Liuet al. [2] และ Kang et al. [3] ที่นำพลังงานทดแทนจากความร้อนเหลือทิ้งจากโรงงานอุตสาหกรรม มาป้อนให้แก้วัสดุจักรแรงคินสารอินทรีย์ที่ใช้การทำงาน R-245fa นอกจากนั้น Fu et al.[4]ศึกษาการออกแบบและสร้างโรงไฟฟ้าวัสดุจักรแรงคินสารอินทรีย์ที่ใช้การทำงาน R-245fa ผลการศึกษาพบว่า ระบบรับพลังงานความร้อน 225 kW และมีประสิทธิภาพการผลิตไฟฟ้า 7.94% ที่ประสิทธิภาพของกังหันเท่ากับ 63.7% Wang et al. [5] และ Wei et al. [6] ศึกษาผลของอุณหภูมิแห่งความร้อนที่มีผลต่อประสิทธิภาพของวัสดุจักรแรงคิน ผลการศึกษาพบว่า อุณหภูมิของแห่งความร้อนมีผลโดยตรงต่อประสิทธิภาพการผลิตพลังงานไฟฟ้า Liet al.[7] ประเมินผลการป้อนความร้อนเข้าวัสดุจักรแรงคินสารอินทรีย์ในช่วงอุณหภูมิ 90-120 °C และอัตราส่วนของผลผลิตพลังงานสุทธิที่ผลิตกระแสไฟฟ้าลดลงว่า ประสิทธิภาพวัสดุจักรแรงคินสารอินทรีย์มีค่าประมาณ 8.13% Jiang [8]

ศึกษาการทำงานของวัสดุจักรแรงคินสารอินทรีย์ร่วมกับระบบทำความเย็นแบบดูดซับสองชั้นที่ใช้สารทำงานคือ  $\text{CaCl}_2\text{-BaCl}_2$  ผลการศึกษาพบว่า ประสิทธิภาพด้านความร้อนและประสิทธิภาพรวมเอ็กซ์เชอร์จของระบบร่วมเพิ่มขึ้นเป็น 10.1-13.1% และ 18.5-20.3% ตามลำดับ

จากการวิจัยต่างๆ ที่กล่าวมาข้างต้นพบว่า ยังไม่มีงานวิจัยใดศึกษานี้ระบบทำความเย็นแบบดูดซับ(Adsorption refrigeration) มาประยุกต์ใช้ผลิตน้ำเย็นร่วมกับวัสดุจักรแรงคินสารอินทรีย์ เพื่อลดอุณหภูมิสารทำงานที่เครื่องควบแน่นวัสดุจักรแรงคินสารอินทรีย์ดังนั้น จึงเป็นที่มาของงานวิจัยนี้ที่ต้องการศึกษาการนำระบบทำความเย็นแบบดูดซับมาทำงานร่วมกับวัสดุจักรแรงคินสารอินทรีย์และศึกษาเงื่อนไขการทำงานที่เหมาะสมของระบบร่วมดังกล่าว รวมทั้งการใช้คุณภาพการทำงานที่เหมาะสมของระบบทำความเย็นแบบดูดซับ ในการปรับปรุงประสิทธิภาพของวัสดุจักรแรงคินสารอินทรีย์ดังแสดงในรูปที่ 1

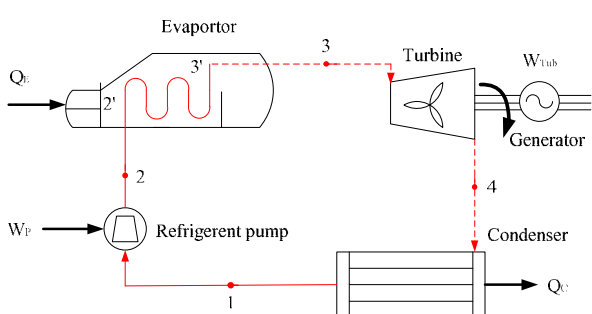


รูปที่ 1 แผนภาพการทำงานของวัสดุจักรแรงคินสารอินทรีย์ร่วมกับระบบทำความเย็นแบบดูดซับ

## 2. หลักการและทฤษฎีที่เกี่ยวข้อง

### ก. วัสดุจักรแรงคินสารอินทรีย์ (Organic Rankine Cycle)

วัสดุจักรแรงคินสารอินทรีย์มีหลักการเหมือนวัสดุจักรแรงคิน (Rankine cycle) ที่ใช้น้ำเป็นสารทำงาน แต่วัสดุจักรแรงคินสารอินทรีย์ใช้สารอินทรีย์ที่มีจุดเดือดต่ำกว่าเป็นสารทำงาน ซึ่งสามารถเปลี่ยนสถานะจากของเหลวเป็นไอได้ง่ายกว่า สารทำงาน (น้ำ) ในวัสดุจักรแรงคินวัสดุจักรแรงคินสารอินทรีย์ประกอบไปด้วย 4 อุปกรณ์หลัก คือ ปั๊มสารทำงาน (Refrigerant pump) เครื่องระเหย (Evaporator) กังหัน (Turbine) และเครื่องรับความร้อน (Condenser) ดังแสดงกระบวนการทำงานในรูปที่ 2



รูปที่ 2 แผนภาพอุปกรณ์ทำงานของวัสดุจักรแรงคินสารอินทรีย์

จากรูปที่ 2 วัสดุจักรแรงคินสารอินทรีย์มีหลักการทำงานดังนี้ คือ สารทำงานในสถานะของเหลว (จุดที่ 1) ถูกส่งมารับความร้อนที่เครื่องระเหย (จุดที่ 2) โดยปั๊มสารทำงาน จากนั้นสารทำงานจะรับความร้อนจากน้ำร้อนภายใต้ความดันคงที่ ( $P_1=P_2$ ) จนกระทั่งเข้าสู่สภาวะของเหลวอีกตัวที่สภาวะ (จุดที่ 2') กลายเป็นไออีกตัวที่สภาวะ (จุดที่ 3') และเป็นไอร้อนขยายตัวที่สภาวะ (จุดที่ 3) เข้าสู่กังหัน

ขยายตัวและขับเพลาที่ต่อ กับ เครื่องกำเนิดไฟฟ้า จากนั้นความดันและอุณหภูมิของไอกองสารทำงานที่ทางออกของก๊าซจะลดลง (จุดที่ 4) จะไฟลเข้าสู่เครื่องความแผ่นกวายได้ความดันคงที่ ( $P_4 = P_1$ ) กลับเป็นของเหลวอีกตัว (จุดที่ 1)[1] ในระบบผลิตกระแสไฟฟ้าของวัสดุจักรแรงคินสตราอินทรีมีการระบายความร้อนด้วยน้ำที่เครื่องความแผ่นโดยใช้หอผึ่งระบบความร้อน (Cooling tower) ทั้งนี้สมการทางคณิตศาสตร์ของอุปกรณ์ต่างๆ ในรูปที่ 2 มีดังต่อไปนี้

ปั๊มสารทำงาน

$$W_P = \dot{m}_{ref} (h_2 - h_1) \quad (1)$$

เครื่องระเหย

$$Q_E = \dot{m}_{ref} (h_3 - h_2) \quad (2)$$

ก๊าซหิน

$$W_{Tur} = \dot{m}_{ref} (h_3 - h_4) \quad (3)$$

เครื่องความแผ่น

$$Q_C = \dot{m}_{ref} (h_4 - h_1) \quad (4)$$

ดังนั้น ประสิทธิภาพทางความร้อนของวัสดุจักรแรงคินสตราอินทรีสามารถแสดงได้ดังสมการต่อไปนี้

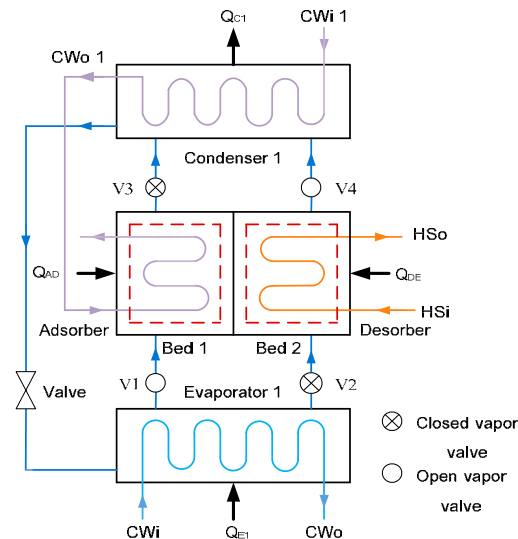
$$\eta_{ORC} = W_{net} / Q_E \quad (5)$$

$$W_{net} = W_{Tur} - W_P - W_{CW} \quad (6)$$

#### ข. ระบบทำความเย็นแบบดูดซับ(Adsorption Refrigeration)

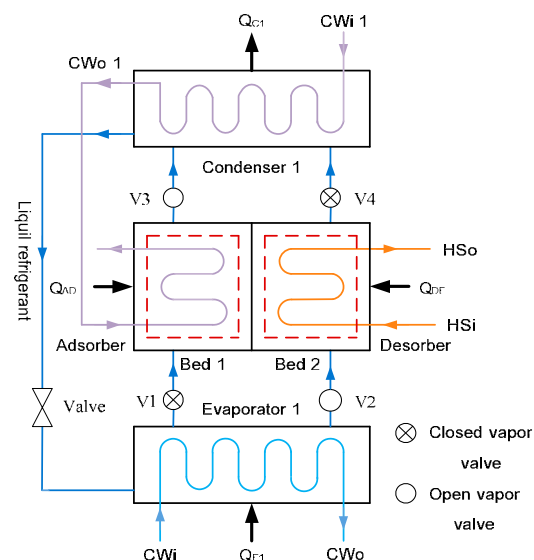
ระบบทำความเย็นแบบดูดซับใช้คุ้มารทำงานที่มีตัวดูดซับ(Adsorbent) ในสภาวะของแข็ง และสารทำงานที่ของไอลสามารถเปลี่ยนสถานะเป็นของเหลวและไอได้ เรียกว่า สารถูกดูดซับ(Adsorbate) ระบบทำความเย็นแบบดูดซับต้องการแหล่งความร้อนอุณหภูมิปานกลางประมาณ  $70-95^{\circ}\text{C}$  ระบบทำความเย็นแบบดูดซับอุปกรณ์หลัก คือเครื่องดูดซับ(Adsorber) เครื่องระเหย(Evaporator) เครื่องความแผ่น(Condenser) และเครื่องคายสารดูดซับ(Desorber) โดยระบบดังกล่าวมีหลักการทำงานดังแสดงในรูปที่ 3 และ 4

จากรูปที่ 3 แสดงการทำงานของเครื่องคายสารดูดซับ Bed 2 ที่มีการเชื่อมต่อกับเครื่องระเหย เพื่อใช้ระเหยสารทำงานเย็นผ่านวาล์ว 2 และคายสารดูดซับผ่านวาล์ว 4 หลักการทำงาน Bed 2 เป็นกระบวนการให้ความอ่อนที่(Isosteric heating) จากแหล่งความร้อน และเป็นกระบวนการคายสารดูดซับที่ความดันคงที่(Isobaric desorption) จากนั้นสารทำงานจะไหลไปยังเครื่องความแผ่นเพื่อระบายความร้อนที่มีปริมาณสารถูกดูดซับคงที่(Isosteric cooling) ในขณะเดียวกันเครื่องดูดซับ Bed 1 จะทำงานในกระบวนการดูดซับที่ความดันคงที่(Isobaric adsorption) ที่มาจากการเชื่อมต่อ



รูปที่ 3 แผนภาพการทำงานคายสารดูดซับของเครื่องคายสารดูดซับ

จากรูปที่ 4 แสดงการทำงานของเครื่องดูดซับ Bed 1 ที่เชื่อมต่อกับเครื่องระเหยที่ดูดซับสารผ่านทางวาล์ว 1 และคายสารทำงานให้แก่เครื่องความแผ่นผ่านทางวาล์ว 3 ในขณะเดียวกันเครื่องคายสารดูดซับ Bed 2 สารถูกดูดซับจากเครื่องระเหย วิ่งเข้าสู่เครื่องคายสารดูดซับ



รูปที่ 4 แผนภาพการทำงานคายสารดูดซับของเครื่องดูดซับ

จากการทำงานของระบบทำความเย็นแบบดูดซับ พิจารณาพัลวงงานความร้อนป้อนเข้า(Bed) ของหนึ่งรอบการทำงาน คือผลรวมของความร้อนที่ได้รับในกระบวนการที่เครื่องดูดซับและเครื่องคายสารดูดซับ ดังแสดงในสมการต่อไปนี้

$$Q_{H(Bed)} = Q_{DE} + Q_{AD} \quad (7)$$

ค่าสัมประสิทธิ์สมรรถนะ (Coefficient of Performance, COP) ของการทำความเย็น หาได้จากอัตราส่วนของอัตราการทำงานที่เครื่องระเหย ( $Q_E$ ) กับเครื่องทำความร้อนที่  $Q_{H(Bed)}$  ดังสมการต่อไปนี้

$$COP = Q_E / Q_{H(Bed)} \quad (8)$$

ดังนั้น ประสิทธิภาพรวมของวัสดุจักรแรงคินสารอินทรีย์ที่ทำงานร่วมกับระบบทำความเย็นแบบคูลดูดซับ เพื่อผลิตพลังงานไฟฟ้าร่วมกับการทำความเย็น สามารถหาได้จากการคำนวณ

$$\eta_{ORC-AD} = W_{net} / Q_E \quad (9)$$

$$W_{net} = W_{Tur} - W_P - W_{Cw} \quad (10)$$

### 3. ขั้นตอนการวิจัย

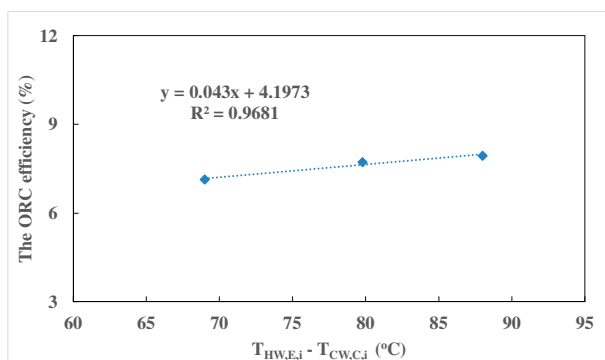
- ขั้นตอนการดำเนินศึกษาของงานวิจัยนี้ มีรายละเอียดดังต่อไปนี้
- ศึกษางานวิจัยที่เกี่ยวข้องของวัสดุจักรแรงคินสารอินทรีย์และระบบทำความเย็นแบบคูลดูดซับ
  - นำผลการศึกษาของคณะวิจัยร่วม [1] ของวัสดุจักรแรงคินสารอินทรีย์ขนาด 20 kW<sub>e</sub> มาใช้ในการวิเคราะห์พัฒนาระบบที่ทำงานของระบบ
  - สรุปและรวบรวมข้อมูลพื้นฐาน (Thermal performance) ของระบบทำความเย็นแบบคูลดูดซับ ที่ใช้คู่สารทำงานชนิดต่างๆ
  - วิเคราะห์ประสิทธิภาพการทำงานร่วมของวัสดุจักรแรงคินสารอินทรีย์และระบบทำความเย็นแบบคูลดูดซับ เพื่อเลือกคู่สารทำงานที่เหมาะสมสำหรับระบบร่วมต่อไป
  - สรุปและวิเคราะห์ผลของงานวิจัย

### 4. ผลและการอภิปรายผล

#### ก. วัสดุจักรแรงคินสารอินทรีย์

จากการทดสอบวัสดุจักรแรงคินสารอินทรีย์ขนาด 20kW<sub>e</sub> ที่ใช้สารทำงาน R-245fa โดยการป้อนน้ำร้อนอุณหภูมิระหว่าง 90-120 °C ให้แก่ระบบที่เครื่องระเหยผลการศึกษาดังกล่าวพบว่า ประสิทธิภาพของระบบมีค่าเฉลี่ยประมาณ 6-8% และความสัมพันธ์ระหว่างอุณหภูมิแตกต่างของน้ำร้อนเข้าเครื่องระเหยและน้ำหล่อเย็นที่ไหลเข้าเครื่องควบแน่น ( $T_{HW,i} - T_{CW,i}$ ) กับประสิทธิภาพทางความร้อนของวัสดุจักรแรงคินสารอินทรีย์ ( $\eta_{ORC}$ ) ใช้ในยามในสมการที่ 9 และ 10) มีรูปแบบเป็นสมการเส้นตรง ซึ่งเรียกว่า สมการสมรรถนะ (Performance curve) ดังแสดงในรูปที่ 5 และสมการต่อไปนี้

$$\eta_{ORC} = 0.043 (T_{HW,i} - T_{CW,i}) + 4.1973 \quad (11)$$



รูปที่ 5 สมการสมรรถนะของวัสดุจักรแรงคินสารอินทรีย์

ในงานวิจัยนี้ กำหนดให้อุณหภูมิน้ำร้อนเข้าจักรแรงคินสารอินทรีย์มีอุณหภูมิ 100 °C ดังนั้นจากการสมการสมรรถนะได้ว่า วัสดุจักรแรงคินสารอินทรีย์ก่อนการปรับปรุงมีประสิทธิภาพประมาณ 6.81% ดังแสดงรายละเอียดการประเมินในตารางที่ 1

ตารางที่ 1 การประเมินประสิทธิภาพของวัสดุจักรแรงคินสารอินทรีย์ ก่อนการปรับปรุง

คุณสมบัติทำงาน	ข้อมูล
อุณหภูมิน้ำร้อนเข้า ( $T_{HW,i}$ , °C)	100
อุณหภูมิน้ำร้อนออก ( $T_{HW,o}$ , °C)	85
อุณหภูมิน้ำหล่อเย็นเข้า ( $T_{CW,i}$ , °C)	32
อุณหภูมิน้ำหล่อเย็นออก ( $T_{CW,o}$ , °C)	37
สมการการคำนวณ	สมการที่ 11
ประสิทธิภาพ ( $\eta_{ORC}$ , %)	6.81

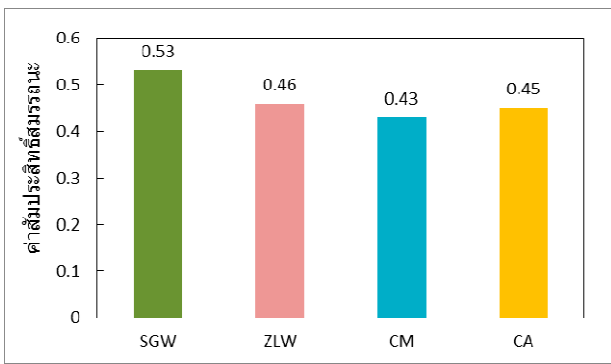
#### ข. ระบบทำความเย็นแบบคูลดูดซับ

จากการศึกษาและรวบรวมข้อมูลจากงานวิจัยที่เกี่ยวข้องกับคู่สารทำงานในระบบทำความเย็นแบบคูลดูดซับ พบว่า คู่สารทำงานที่นิยมใช้กันอย่างแพร่หลายในปัจจุบัน และสามารถทำงานได้ในช่วงอุณหภูมิที่ 70-100 °C ซึ่งเป็นช่วงอุณหภูมิของระบบทำความเย็นแบบคูลดูดซับในงานวิจัยนี้ มีทั้งหมด 4 คู่สารทำงานคือ ซิลิกาเจล-น้ำ (Silica gel-Water) ซิโอลิท-น้ำ (Zeolite-Water) คาร์บอน-เมทานอล (Carbon-Methanol) และคาร์บอน-แอมโมเนีย (Carbon-Ammonia) ซึ่งคุณสมบัติเฉพาะการทำงานของคู่สารทำงานชนิดต่างๆ แสดงรายละเอียดในตารางที่ 2

ตารางที่ 2 ผลการศึกษาความสามารถทำงานของคู่สารทำงานชนิดต่างๆ

คู่สารทำงาน	คุณสมบัติการทำงาน				อ้างอิง
	$T_{HS}$ (°C)	$T_c$ (°C)	$T_e$ (°C)	COP	
(SGW) ซิลิกาเจล-น้ำ	75-95	30	9.42	0.55	Nunez [9]
	65-95	30	9.42	0.50	Freni [10]
(ZLW) ซิโอลิท-น้ำ	65-90	27	12	0.44	Li [11]
	60-85	29	12	0.48	Myat [12]
(CM) คาร์บอน-เมทานอล	85	30	14	0.42	Habib [13]
	80-85	30	14	0.43	Habib [14]
CA) คาร์บอน-แอมโมเนีย	85	35	10	0.45	Tamainot [15]

จากข้อมูลในตารางที่ 2 พบว่า ค่า COP ของคู่สารทำงานซิลิกาเจล-น้ำมีค่าสูงที่สุดของลงมา คือ คู่สารทำงานซิโอลิท-น้ำ คาร์บอน-เมทานอล และคาร์บอน-แอมโมเนีย ตามลำดับ โดยค่าเฉลี่ย COP ของคู่สารทำงานทั้ง 4 ชนิดดังกล่าว แสดงในรูปที่ 6



รูปที่ 6 การเปรียบเทียบค่าสัมประสิทธิ์การทำความเย็นของคู่สารทำงานชนิดต่างๆ

#### ค. ระบบร่วมวัฏจักรแรงคินสารอินทรีย์และระบบทำความเย็นแบบดูดซับ

การปรับปรุงประสิทธิภาพของวัฏจักรแรงคินสารอินทรีย์โดยใช้ระบบทำความเย็นแบบดูดซับ ในกรณีผลิตน้ำเย็นในการระบายน้ำร้อนร่วมกับห้องผู้ดูแลระบบทำความร้อน เพื่อลดอุณหภูมิสารทำงานที่เครื่องควบแน่นของวัฏจักรแรงคินสารอินทรีย์สำหรับระบบทำความเย็นแบบดูดซับพิจารณาการใช้คู่สารทำงานชนิดต่างๆเพื่อเลือกคู่สารทำงานที่เหมาะสมที่สุด สำหรับการทำงานร่วมกันของระบบทั้งสองดังแสดงในรูปที่ 1

ตารางที่ 3 แสดงผลการทำงานร่วมกันของระบบทำความเย็นแบบดูดซับที่ใช้คู่สารทำงานชนิดต่างๆ โดยน้ำร้อนที่ออกจากวัฏจักรแรงคินสารอินทรีย์มีอุณหภูมิ  $85^{\circ}\text{C}$  และนำมาใช้ในการขับเคลื่อนระบบทำความเย็นแบบดูดซับ ผลที่ได้พบว่า วัฏจักรแรงคินสารอินทรีย์มีประสิทธิภาพเพิ่มขึ้นเป็น  $11.45\%$  และสามารถลดอุณหภูมิน้ำร้อนทำความร้อนได้ประมาณ  $14.54^{\circ}\text{C}$

ตารางที่ 3 ผลการทำงานร่วมของระบบทำความเย็นแบบดูดซับที่ใช้คู่สารทำงานชนิดต่างๆ

คุณสมบัติการทำงาน	ข้อมูล
<b>วัฏจักรแรงคินสารอินทรีย์</b>	
อุณหภูมิน้ำร้อนเข้า ( $T_{HW,i}, ^{\circ}\text{C}$ )	100
อุณหภูมิน้ำร้อนออก ( $T_{HW,o}, ^{\circ}\text{C}$ )	85
อุณหภูมิน้ำหล่อเย็นเข้า ( $T_{CW,i}, ^{\circ}\text{C}$ )	14.54
อุณหภูมิน้ำหล่อเย็นออก ( $T_{CW,o}, ^{\circ}\text{C}$ )	19.54
<b>ระบบทำความเย็นแบบดูดซับ</b>	
อุณหภูมิแหล่งน้ำร้อนเข้า ( $T_{HS}, ^{\circ}\text{C}$ )	85
อุณหภูมิเครื่องควบแน่น 2 ( $T_{C1}, ^{\circ}\text{C}$ )	30
อุณหภูมิเครื่องระเหย 2 ( $T_{E1}, ^{\circ}\text{C}$ )	9.42
ค่าสัมประสิทธิ์สมรรถนะ (COP)	0.53
<b>ระบบผลิตพลังงานร่วม</b>	
สมการการคำนวณ	สมการที่ 11
ประสิทธิภาพ ( $\eta_{ORC-AD}, \%$ )	11.45

ตารางที่ 4 แสดงผลการทำงานร่วมของระบบร่วมที่ใช้คู่สารทำงานซีโอลีท-น้ำในระบบทำความเย็นแบบดูดซับผลที่ได้พบว่า วัฏจักรแรงคินสารอินทรีย์มีประสิทธิภาพเพิ่มขึ้นเป็น  $10.79\%$  แต่เมื่อเทียบกับการใช้คู่สารทำงานชนิดต่างๆ มีค่าน้อยกว่าเล็กน้อย เนื่องมาจากระบบททำความเย็นแบบดูดซับที่ใช้คู่สารซีโอลีท-น้ำ มีค่าสัมประสิทธิ์สมรรถนะน้อยกว่าคู่สารทำงานชนิดต่างๆ รวมทั้งอุณหภูมน้ำร้อนทำความร้อนของการใช้ซีโอลีท-น้ำ ยังมีค่าสูงกว่าอีกด้วยที่ประมาณ  $16.99^{\circ}\text{C}$

ตารางที่ 4 ผลการทำงานร่วมของระบบทำความเย็นแบบดูดซับที่ใช้คู่สารทำงานซีโอลีท-น้ำ

คุณสมบัติการทำงาน	ข้อมูล
<b>วัฏจักรแรงคินสารอินทรีย์</b>	
อุณหภูมน้ำร้อนเข้า ( $T_{HW,i}, ^{\circ}\text{C}$ )	100
อุณหภูมน้ำร้อนออก ( $T_{HW,o}, ^{\circ}\text{C}$ )	85
อุณหภูมน้ำหล่อเย็นเข้า ( $T_{CW,i}, ^{\circ}\text{C}$ )	16.99
อุณหภูมน้ำหล่อเย็นออก ( $T_{CW,o}, ^{\circ}\text{C}$ )	21.69
<b>ระบบทำความเย็นแบบดูดซับ</b>	
อุณหภูมิแหล่งน้ำร้อนเข้า ( $T_{HS}, ^{\circ}\text{C}$ )	85
อุณหภูมิเครื่องควบแน่น 2 ( $T_{C1}, ^{\circ}\text{C}$ )	28
อุณหภูมิเครื่องระเหย 2 ( $T_{E1}, ^{\circ}\text{C}$ )	12
ค่าสัมประสิทธิ์สมรรถนะ (COP)	0.46
<b>ระบบผลิตพลังงานร่วม</b>	
สมการการคำนวณ	สมการที่ 11
ประสิทธิภาพ ( $\eta_{ORC-AD}, \%$ )	10.79

ตารางที่ 5 ผลการทำงานร่วมของระบบทำความเย็นแบบดูดซับที่ใช้คู่สารทำงานคาร์บอน-แอมโมเนีย

คุณสมบัติการทำงาน	ข้อมูล
<b>วัฏจักรแรงคินสารอินทรีย์</b>	
อุณหภูมน้ำร้อนเข้า ( $T_{HW,i}, ^{\circ}\text{C}$ )	100
อุณหภูมน้ำร้อนออก ( $T_{HW,o}, ^{\circ}\text{C}$ )	85
อุณหภูมน้ำหล่อเย็นเข้า ( $T_{CW,i}, ^{\circ}\text{C}$ )	17.06
อุณหภูมน้ำหล่อเย็นออก ( $T_{CW,o}, ^{\circ}\text{C}$ )	22.06
<b>ระบบทำความเย็นแบบดูดซับ</b>	
อุณหภูมิแหล่งน้ำร้อนเข้า ( $T_{HS}, ^{\circ}\text{C}$ )	85
อุณหภูมิเครื่องควบแน่น 2 ( $T_{C1}, ^{\circ}\text{C}$ )	35
อุณหภูมิเครื่องระเหย 2 ( $T_{E1}, ^{\circ}\text{C}$ )	10
ค่าสัมประสิทธิ์สมรรถนะ (COP)	0.37
<b>ระบบผลิตพลังงานร่วม</b>	
สมการการคำนวณ	สมการที่ 11
ประสิทธิภาพ ( $\eta_{ORC-AD}, \%$ )	10.76

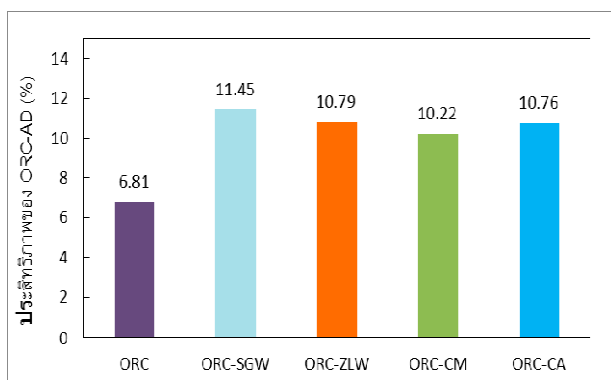
ตารางที่ 5 และ 6 แสดงผลการทำงานร่วมกันของระบบทำความเย็นแบบดูดซับที่ใช้คู่สารทำงานคาร์บอน-แอมโมเนีย และคาร์บอน-เมทานอล ตามลำดับ ผลที่ได้พบว่า คู่สารทำงานทั้งสองสามารถเพิ่ม

ประสิทธิภาพของวัสดุจัดแรงคินสารอินทรีย์ได้น้อยกว่าซีลิกาเจล-น้ำ และซีโอลีฟ-น้ำ ที่ประมาณ 10.76% และ 10.22% ตามลำดับ สาเหตุมาจากการบหงส่องมีค่าสัมประสิทธิ์สมรรถนะการทำความเย็นน้อยกว่า ส่งผลให้อุณหภูมิน้ำร้ายความร้อนสูงกว่า และประสิทธิภาพรวมของระบบผลิตพลังงานร่วมไฟฟ้าและความเย็นมีค่าน้อยกว่าตามไปด้วย

#### ตารางที่ 6 ผลการทำงานร่วมของระบบทำความเย็นแบบดูดซับที่ใช้คู่สารทำงานสารบอน-เมทานอล

คุณสมบัติการทำงาน	ข้อมูล
<b>วัสดุจัดแรงคินสารอินทรีย์</b>	
อุณหภูมิน้ำร้อนเข้า ( $T_{HW,i}$ , °C)	100
อุณหภูมิน้ำร้อนออก ( $T_{HW,o}$ , °C)	85
อุณหภูมิน้ำหล่อเย็นเข้า ( $T_{CW,i}$ , °C)	14.27
อุณหภูมิน้ำหล่อเย็นออก ( $T_{CW,o}$ , °C)	19.27
<b>ระบบทำความเย็นแบบดูดซับ</b>	
อุณหภูมิแท่งน้ำร้อนทิ้ง ( $T_{HS}$ , °C)	95
อุณหภูมิเครื่องควบแน่น 2 ( $T_{C1}$ , °C)	30
อุณหภูมิเครื่องระเหย 2 ( $T_{E1}$ , °C)	14
ค่าสัมประสิทธิ์สมรรถนะ (COP)	0.43
<b>ระบบผลิตพลังงานร่วม</b>	
สมการการคำนวณ	สมการที่ 11
ประสิทธิภาพ ( $\eta_{ORC-AD}$ , %)	10.22

รูปที่ 7 แสดงการเปรียบเทียบประสิทธิภาพของของวัสดุจัดแรงคินสารอินทรีย์ก่อนและหลังปรับปรุงโดยใช้คู่สารทำงาน 4 ชนิดในระบบทำความเย็นแบบดูดซับ ผลการเพิ่มประสิทธิภาพพบว่า ระบบทำความเย็นแบบดูดซับสามารถเพิ่มประสิทธิภาพของของวัสดุจัดแรงคินสารอินทรีย์โดยเฉลี่ยประมาณ 4.69% และคู่สารทำงานซีลิกาเจล-น้ำให้ประสิทธิภาพของระบบร่วมได้สูงสุด รองลงมา คือ ซีโอลีฟ-น้ำ สารบอน-เมทานอล-แอมโมเนียและการบอน-เมทานอล ตามลำดับ



#### 5. สรุปผลการวิจัย

ผลการศึกษาการทำน้ำร่วมกันของวัสดุจัดแรงคินสารอินทรีย์กับระบบทำความเย็นโดยใช้คู่สารทำงานชนิดต่างๆสามารถสรุปผลดังต่อไปนี้

- 1) วัสดุจัดแรงคินสารอินทรีย์ขนาด 20 kW<sub>e</sub> ที่ใช้สารทำงาน R-245fa มีประสิทธิภาพเฉลี่ยประมาณ 6-8% ที่น้ำร้อนอุณหภูมิ 90-120 °C
- 2) การทำงานร่วมกันของวัสดุจัดแรงคินสารอินทรีย์กับระบบทำความเย็นแบบดูดซับ สามารถเพิ่มประสิทธิภาพของวัสดุจัดแรงคินสารอินทรีย์โดยเฉลี่ยประมาณ 4.64%
- 3) ระบบทำความเย็นแบบดูดซับที่ใช้คู่สารทำงานซีลิกาเจล-น้ำ เป็นคู่สารทำงานที่เหมาะสมที่สุด เนื่องจากสามารถเพิ่มประสิทธิภาพของวัสดุจัดแรงคินสารอินทรีย์ได้สูงสุดที่ประมาณ 11.45% ที่อุณหภูมน้ำร้ายความร้อน 14.54 °C

#### 6. กิตติกรรมประการ

ขอขอบคุณ วิทยาลัยพลังงานทดแทน มหาวิทยาลัยแม่โจ้ ภายใต้โครงการผลิตและพัฒนาศักยภาพบัณฑิตทางด้านพลังงานทดแทน ในประเทศไทยเชียนสำหรับนักศึกษาระดับบัณฑิตศึกษา และสำนักงานคณะกรรมการวิจัยแห่งชาติ แผนพัฒนาพลังงานทดแทน ภายใต้โครงการความร่วมมือระหว่างไทย-จีน 2558 ที่ให้ทุนสนับสนุนทำการวิจัย

#### 7. อ้างอิง

- [1] Chaiyat N Assessment Alternative Energy for Organic Rankine Cycle Power Plant in Thailand. School of Renewable Energy, Maejo University, Chiang Mai, Thailand Retrieved on: 24 October 2015.
- [2] LiuH, Zhou Q, Zhou H, wang P (2015) Experiments and thermal modeling on hybrid energy supply system of gas engine heat pumps and organic Rankine cycle, Energy and Buildings, 87, 226-232.
- [3] Kang S.H(2012) Design and experimental study of organic Rankine cycle (ORC) and radial turbine using R245fa working fluid, Energy, 71, 514-524.
- [4] Fu B, Lee Y, Hsieh J (2015) Design construction and preliminary results of a 250 kW organic Rankine cycle system, Applied Thermal Engineering, 80, 339-346.
- [5] Wang D, Ling X, Peng H, Liu L, Tao L.L (2013) Efficiency and optimal performance evaluation of organic Rankine cycle for low, Energy, 50, 343-352.
- [6] Wei D, Lu X, Lu Zh, Gu J (2007) Performance analysis and optimization of organic Rankine cycle(ORC) for waste heat recovery, Energy Conversion and Management, 48, 1113–1119.
- [7] Li T, Zhang Z.H, Lu J, Yang J.L, Hu Y (2015) Two-stage evaporation strategy to improve system performance for Organic Rankine Cycle, Applied Energy, 150, 323–334.
- [8] Jiang L, Wang L, Wang R, Gao P, Song F (2014) Investigation on cascading cogeneration system of ORC

- (organic Rankine cycle) and  $\text{CaCl}_2/\text{BaCl}_2$  two-stage adsorption freezer, Energy, 71, 377–387.
- [9] Nunez T, Mittelbach W, Henning H.M (2004) Development of an Adsorption chiller and heat pump for domestic heating and air-conditioning applications In: Proceedings of the third international conference on heat powered cycles (HPC2004), Cyprus.
- [10] Freni A, Restuccia G, Vasta S, Aristov Y. (2004) Selective water Sorbent for solid sorption chiller: experimental results and modeling, International Journal Refrigeration, 27, 284–293.
- [11] Li A, Ismail A.B, Thu K, Choon Ng K, Loh W.S (2014) Performance evaluation of a zeolite–water adsorption chiller with entropy analysis of thermodynamic insight, Applied Energy, 130, 702–711.
- [12] Myat A, Choon NG.K, Thu K, Kim Y.D (2013) Experimental investigation on the optimal performance of Zeolite–water adsorption Chiller, Applied Energy, 102, 582–590.
- [13] Habib K.H, Saha B.B, Koyama S.H (2014) Study of various adsorbent-refrigerant pairs for the application of solar had driven adsorption cooling in tropical climates, Applied Thermal Engineering, 72, 266–274.
- [14] Habib KH, Bidyut B.Saha(2013) Performance Evaluation of Solar Driven Activated Carbon Fiber-Ethanol based Adsorption Cooling System in Malaysia, Asian Journal of Scientific Research, 6, 146-156.
- [15] Tamainot-Telto. Z, Metcalf. S.J, Critoph. R.E, Zhong. Y, Thorpe. R (2009) Carbon–ammonia pairs for adsorption refrigeration applications: ice making, air conditioning and heat pumping international journal of refrigeration, 32, 1212–1229.

#### ອັກສ່ຽວແລະສັງລັກຊະນີ

ອັກສ່ຽວ	ຄວາມໝາຍ
C	ຄ່າຄວາມຈຸດເພະະຂອງນໍ້າ (kJ/kg·K)
COP	Coefficient of performance ()
h	ເອນທັບປີ (kJ/kg)
m	ອັດຮາການໄທລ່ມວລ (kg/s)
Q	ອັດຮາຄວາມຮ້ອນ (kJ/kg)
T	ອຸນຫະກົມ (°C)
W	ພລັງງານ (kJ/kg)
ຕັກຮຶກ	ຄວາມໝາຍ
η	ປະສິທິກິກາພ (%)
ຕັກຫ້ອຍ	ຄວາມໝາຍ
AD	Adsorption
CW	Cooling water